

АВТОКОМПЕНСАЦИЯ ДОПЛЕРОВСКОЙ ФАЗЫ ПАССИВНЫХ ПОМЕХ

Попов Д.И.

Введение

При обработке радиолокационных сигналов на фоне пассивных помех в условиях априорной неопределенности возникает задача компенсации доплеровской фазы помехи, обусловленной взаимным перемещением источника мешающих отражений и носителя радиолокационной системы (РЛС). Эта задача решается в адаптивных режекторных фильтрах (АРФ) с комплексными весовыми коэффициентами путем двумерных поворотов обрабатываемых отсчетов в комплексных перемножителях [1, 2]. Однако синфазность отсчетов помехи только в пределах памяти фильтра приводит к сохранению доплеровских сдвигов фазы остатков режектирования и необходимости компенсации этих сдвигов при последующей когерентной обработке. Кроме того, наличие соответствующего порядку фильтра числа комплексных перемножителей усложняет структуру АРФ, особенно высоких порядков, и повышает требования к быстродействию арифметических операций. В связи с этим представляет интерес раздельное решение задачи автокомпенсации доплеровских сдвигов фазы помехи и последующего режектирования «остановленной» помехи в фильтре с действительными весовыми коэффициентами. В этом случае, в отличие от адаптации к доплеровской фазе путем соответствующего смещения АЧХ фильтра, необходимо скомпенсировать доплеровское смещение спектра помехи. Для осуществления этого во временной области следует измерять с точностью до начальной фазы текущую фазу помехи в виде полного доплеровского сдвига за поступившее число периодов. При этом возможны измерители и автокомпенсаторы двух типов – с прямой и обратной связью.

Модель помехи

Помеха, создаваемая мешающими отражениями от протяженных объектов, является случайным узкополосным процессом гауссовского типа, образующим с внутренним шумом приемника аддитивную смесь, которой в j -м периоде повторения и в l -м элементе разрешения по дальности соответствуют цифровые отсчеты $U_{jl} = x_{jl} + iy_{jl}$ комплексной огибающей, следующие через период повторения T и образующие в двух смежных периодах вектор-столбец $\mathbf{U}_l = \{U_{j-1,l}, U_{j,l}\}^T$. В пределах временного строба, соответствующего $n+1$ смежным элементам разрешения по дальности, отсчеты помехи образуют обучающую выборку в виде совокупности $\{U_l\}$, $l=1, n+1$. Соответствующий среднему элементу разрешения в стробе вектор U_l ($l = n/2 + 1$) исключается из обучающей выборки. При условии однородности помехи в пределах рассматриваемого временного строба помеха в каждом его элементе разрешения описывается корреляционной матрицей

$$\mathbf{R} = \mathbf{R}_l = \overline{\mathbf{U}_l \mathbf{U}_l^*} / 2\sigma_n^2, \text{ элементы которой } R_{jk} = \rho_{jk} e^{i(j-k)\varphi} + \lambda \delta_{jk},$$

Методом максимального правдоподобия синтезированы алгоритмы оценивания доплеровской фазы пассивных помех. Предложены принципы построения и структурные схемы автокомпенсаторов доплеровской фазы пассивных помех с прямой и обратной связью. Проведен сравнительный анализ точности компенсации предложенных автокомпенсаторов.

где ρ_{jk} – коэффициенты междупериодной корреляции, φ – доплеровский сдвиг фазы за период T , $\lambda = \sigma_{ш}^2 / \sigma_n^2$ – отношение шум/помеха, δ_{jk} – символ Кронекера.

С учетом статистической независимости помехи в различных элементах разрешения по дальности, ввиду полной смены элементарных отражателей, выражение для функции правдоподобия имеет вид

$$P(\{U_l\} / \varphi) = C \exp \left\{ -\frac{1}{2} \sum_{l=1}^{n+1} \mathbf{U}_l^* \mathbf{W} \mathbf{U}_l \right\}, \quad (1)$$

где C – не зависящая от \mathbf{U}_l и φ константа; \mathbf{W} – обратная \mathbf{R} матрица, элементы которой $W_{jk} = w_{jk} e^{i(j-k)\varphi}$.

Автокомпенсаторы с прямой связью

В данном случае в качестве исходных используются оценки междупериодного доплеровского сдвига фазы помехи φ , определяемые из уравнения правдоподобия

$$\partial \ln P(\{U_l\} / \varphi) / \partial \varphi \Big|_{\varphi=\hat{\varphi}} = 0. \quad (2)$$

В результате решения уравнения (2) находим

$$\hat{\varphi}_j = \arg V_j = \arctg(\text{Im } V_j / \text{Re } V_j), \quad (3)$$

где

$$V_j = \sum_{l=1}^{n+1} U_{j-1,l}^* U_{j,l} = \text{Re } V_j + i \text{Im } V_j = |V_j| e^{i\hat{\varphi}_j}. \quad (4)$$

Значения арктангенса находятся в пределах $[-\pi/2, \pi/2]$. Расширение диапазона измерения φ_j до интервала $[-\pi, \pi]$ основывается на логических операциях:

$$\hat{\varphi}_j = \begin{cases} \arg V_j & \text{и } \delta \text{è Re } V_j > 0, \\ (\text{sgn Im } V_j)(\pi - |\arg V_j|) & \text{и } \delta \text{è Re } V_j < 0, \\ (\text{sgn Im } V_j)\pi/2 & \text{и } \delta \text{è Re } V_j = 0. \end{cases} \quad (5)$$

Далее вычисляется полный сдвиг фазы помехи за поступившее число периодов j :

$$\theta_j = \theta_{j-1} + \hat{\varphi}_j = \sum_{k=1}^j \hat{\varphi}_k. \quad (6)$$

Структурная схема основанного на алгоритмах (3..6) первого варианта измерителя полного сдвига фазы помехи

приведена на рис. 1 [3].

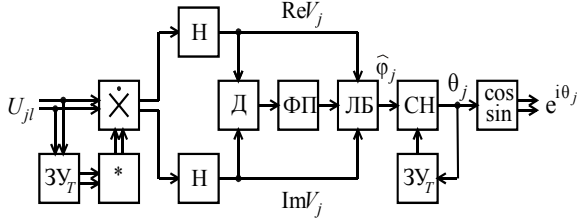


Рис. 1.

В первом запоминающем устройстве $3Y_T$ отсчеты U_{jl} задерживаются на интервал T ; в блоке комплексного сопряжения (*) инвертируются знаки мнимых проекций отсчетов $U_{j-1,l}^*$; в комплексном перемножителе ($\dot{\times}$), схема которого приведена в [1, 2], и в накопителях H , осуществляющих скользящее вдоль дальности суммирование n произведений $U_{j-1,l}^* U_{jl}$, в соответствии с алгоритмом (4) вычисляются величины $V_j = \text{Re}V_j + i \text{Im}V_j$. В делителе D , функциональном преобразователе ФП, реализующем операцию арктангенса, и логическом блоке ЛБ в соответствии с алгоритмами (3) и (5) вычисляются оценки $\hat{\varphi}_j$. Сумматор-нормализатор СН и второе $3Y_T$ в цепи обратной связи отдельно для каждого элемента разрешения по дальности реализуют рекуррентный алгоритм (6). Нормализованные (не превосходящие 2π) сдвиги фазы θ_j поступают в косинусно-синусный функциональный преобразователь, в котором образуются величины $e^{i\theta_j} = \exp\left(i \sum_{k=1}^j \hat{\varphi}_k\right)$.

Решая уравнение (2) относительно $e^{i\varphi}$, получаем

$$e^{i\hat{\varphi}_j} = V_j / |V_j| = (\text{Re}V_j + i \text{Im}V_j) / \sqrt{(\text{Re}V_j)^2 + (\text{Im}V_j)^2}, \quad (7)$$

что приводит ко второму варианту измерителя полного сдвига фазы помехи, структурная схема которого приведена на рис. 2 [4], где BM – вычислитель модуля $|V_j|$. В соответствии с алгоритмами (4) и (7) на выходах делителей D вычисляются величины, образующие оценки $e^{i\hat{\varphi}_j}$. С помощью второго комплексного перемножителя ($\dot{\times}$) и второго $3Y_T$ в цепи обратной связи, осуществляющих рекуррентное накопление оценок, на выходе измерителя определяются непосредственно величины

$$e^{i\theta_j} = e^{i\theta_{j-1}} e^{i\hat{\varphi}_j} = \exp\left(i \sum_{k=1}^j \hat{\varphi}_k\right).$$

Структурная схема АРФ на основе автокомпенсатора с прямыми связями приведена на рис. 3 [5]. Измеритель И полного сдвига фазы помехи выполняется в соответствии с рис. 1 или 2.

Ввиду однородности помехи по доплеровской фазе ($\hat{\varphi}_k \approx \hat{\varphi}$) в пределах обрабатываемой в РФ последовательности отсчетов

$$\exp\left(i \sum_{k=1}^j \hat{\varphi}_k\right) \approx e^{i j \hat{\varphi}}.$$

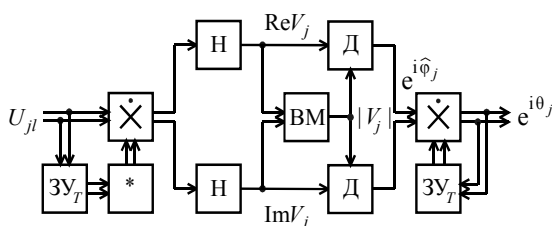


Рис. 2.

Для компенсации доплеровского сдвига фазы помехи образованная в блоке комплексного сопряжения (*) величина $e^{-i j \hat{\varphi}}$ перемножается с исходными отсчетами помехи $U_j = u_j e^{i(j\varphi + \varphi_0)}$, задержанными в $3Y_T$ с целью временного согласования вводимых и компенсируемых фазовых сдвигов на интервал τ , равный задержке оценок по отношению к среднему элементу разрешения временного строба, исключенному из обучающей выборки. Тогда в случае разрывной помехи или сигнала от цели, соизмеримого по величине с помехой, при обработке элемента разрешения, содержащего сигнал, исключается его влияние на используемые оценки.

Выходные величины автокомпенсатора $\tilde{U}_j = U_j e^{-i j \hat{\varphi}} = u_j e^{i[j(\varphi - \hat{\varphi}) + \varphi_0]}$ с точностью до погрешностей измерения оценки $\hat{\varphi}$ не содержат доплеровских сдвигов фазы помехи, что позволяет осуществлять последующее режектирование помехи фильтром с действительными весовыми коэффициентами. При этом число комплексных перемножителей независимо от порядка фильтра остается неизменным и равным двум или трем, в зависимости от используемого варианта измерителя И (рис. 1 или 2). Автокомпенсаторы с прямой связью являются практически безынерционными, и поэтому их целесообразно использовать в обзорных РЛС.

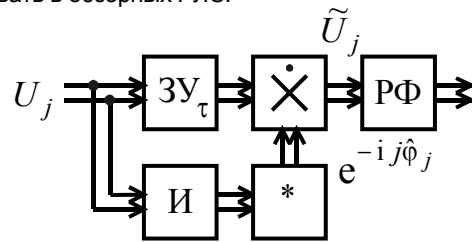


Рис. 3.

Автокомпенсаторы с обратной связью

Автокомпенсаторы данного типа строятся по принципу следящей системы – дискриминатор плюс сглаживающий фильтр. В дискриминаторе по выходным отсчетам автокомпенсатора $\tilde{U}_{jl} = \tilde{x}_{jl} + i \tilde{y}_{jl}$ определяется оценка ошибки рассогласования $\Delta \hat{\varphi}_j$ между истинным и отслеживаемым автокомпенсатором значением фазы φ . Автокомпенсаторы с обратной связью допускают широкий выбор дискриминаторов. Алгоритм оптимального дискриминатора определяется из уравнения правдоподобия

$$\Delta \hat{\varphi}_j = - \frac{\partial \ln P(\{\tilde{U}_l\} / \varphi) / \partial \varphi}{\partial^2 \ln P(\{\tilde{U}_l\} / \varphi) / \partial \varphi^2} \Big|_{\varphi = \varphi_0}, \quad (8)$$

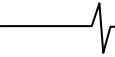
где $P(\{\tilde{U}_l\} / \varphi)$ – аналогичная (1) функция правдоподобия, $\tilde{U}_l = \{\tilde{U}_{j-1,l}, \tilde{U}_{j,l}\}^T$ – вектор-столбец, φ_0 – опорное значение измеряемого параметра.

В установившемся режиме автокомпенсатора доплеровские сдвиги фазы помехи скомпенсированы, что соответствует опорному значению $\varphi_0 = 0$. Тогда после соответствующих вычислений в (8) найдем

$$\Delta \hat{\varphi}_j = \text{Im} \tilde{V}_j / \text{Re} \tilde{V}_j, \quad (9)$$

где \tilde{V}_j вычисляются по отсчетам $\tilde{U}_{j-1,l}$ и $\tilde{U}_{j,l}$ аналогично алгоритму (4).

Структурная схема дискриминатора на основе алгоритма (9) соответствует левой части рис. 1 до функционального преобразователя ФП.



Избежать операции комплексного перемножения многозарядных чисел позволяют суммарно-разностные алгоритмы, которые открывают возможности для дальнейших упрощений дискриминатора. Рассматривая свойства проекций при различных положениях разности $\tilde{U}_{j-1,l} - \tilde{U}_{jl}$, эвристическим путем получаем простой и удобный для практического применения алгоритм оценивания ошибки рассогласования

$$\Delta\hat{\varphi}_j = \sum_{l=1}^{n+1} [(\text{sgn } \tilde{x}_{jl})(\tilde{y}_{j-1,l} - \tilde{y}_{jl}) - (\text{sgn } \tilde{y}_{jl})(\tilde{x}_{j-1,l} - \tilde{x}_{jl})] / d, \quad (10)$$

$$l \neq \frac{n}{2} + 1$$

где

$$d = \sum_{l=1}^{n+1} (|\tilde{U}_{j-1,l}|^2 + |\tilde{U}_{jl}|^2) - \text{нормирующий коэффициент.}$$

$$l \neq \frac{n}{2} + 1$$

Автокомпенсаторы с обратной связью могут быть построены с введением поправки в частоту или фазу опорного колебания гетеродина [6] или с цифровой компенсацией непосредственно на видеочастоте [7], что позволяет осуществлять оперативную компенсацию доплеровской фазы по дальности. Структурная схема АРФ на основе цифрового автокомпенсатора с обратной связью приведена на рис. 4 [8].

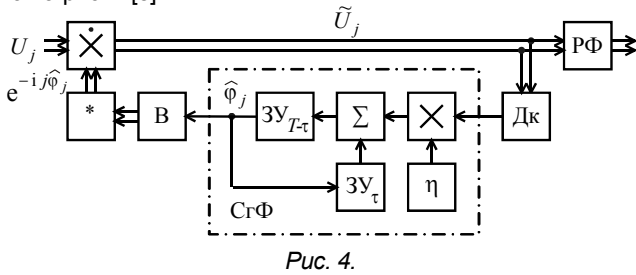


Рис. 4.

Текущие оценки $\Delta\hat{\varphi}_j$ от дискриминатора Дк поступают на вход сглаживающего фильтра СгФ, в котором осуществляется взвешивание оценок с помощью весового коэффициента η и раздельное для каждого элемента разрешения по дальности накопление взвешенных величин, приводящее к сглаживанию ошибок рассогласования и образованию в установившемся режиме оценки междупериодного сдвига фазы

$$\hat{\varphi}_j = \eta \sum_{k=1}^j \Delta\hat{\varphi}_k.$$

Величина η определяет коэффициент передачи разомкнутой петли автокомпенсатора и, как будет показано ниже, влияет на его динамические свойства и флюктуационную ошибку. С целью временного согласования со средним элементом временного stroba поступающие с выхода СгФ оценки $\hat{\varphi}_j$ задерживаются в $3У_{T-\tau}$ на интервал $T - \tau$. В вычислителе В полного сдвига фазы образуются величины $e^{i\theta_j} \approx e^{i j \hat{\varphi}}$. Вычислитель может быть выполнен в двух вариантах. В первом варианте (рис. 5, а) на выходе сумматора-нормализатора СН аналогично рис. 1 образуется нормализованная (не превосходящая 2π) величина

$$\theta_j = \sum_{k=1}^j \hat{\varphi}_k < 2\pi,$$

поступающая затем в косинусно-синусный функциональный преобразователь. Во втором варианте (рис. 5, б) вначале происходит косинусно-синусное преобразование, а

затем аналогичное рис. 2 рекуррентное вычисление величин

$$e^{i\theta_j} = e^{i\theta_{j-1}} e^{i\hat{\varphi}_j} \approx e^{i j \hat{\varphi}}.$$

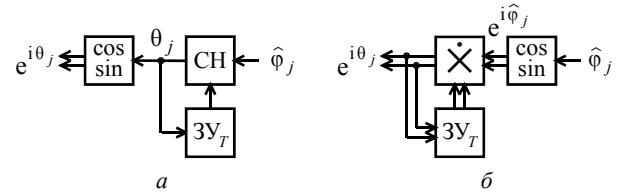


Рис. 5.

Компенсация доплеровской фазы помехи осуществляется путем комплексного перемножения (\times) поступающих отсчетов U_j (рис. 4) с выходной величиной $e^{-i j \hat{\varphi}}$ блока комплексного сопряжения ($*$). Отсчеты $\tilde{U}_j = U_j e^{-i j \hat{\varphi}} = u_j e^{i(j(\varphi - \hat{\varphi}) + \varphi_1)}$ аналогично соответствующим отсчетам схемы на рис. 3 в установившемся режиме не содержат доплеровских сдвигов с точностью до погрешностей измерения оценки $\hat{\varphi}$.

Точность компенсации

Точность компенсации характеризуется дисперсией флюктуационной ошибки, которая для автокомпенсаторов с прямой связью определяется выражением Крамера-Рао

$$\sigma_\varphi^2 = - \left[\frac{\partial^2 \ln P(\{U_i\} / \varphi)}{\partial \varphi^2} \right]^{-1}. \quad (11)$$

После вычислений в (11) с использованием функции правдоподобия (1) и обозначения $\rho_{12} = \rho$ получаем

$$\sigma_\varphi^2 = \frac{(1 + \lambda)^2 - \rho^2}{2n\rho^2}. \quad (12)$$

Очевидно, что необходимая точность компенсации обеспечивается выбором объема обучающей выборки n .

Дисперсия флюктуационной ошибки для автокомпенсаторов с обратной связью определяется простой и широко известной формулой

$$\sigma_\varphi^2 = 2S_{\text{эф}} \Delta f_{\text{эф}},$$

где $S_{\text{эф}}$ – эквивалентная спектральная плотность флюктуаций, $\Delta f_{\text{эф}}$ – эффективная полоса пропускания автокомпенсатора.

Для оптимального дискриминатора эквивалентная спектральная плотность $S_{\text{эф}} = S_{\text{опт}}$. При этом $S_{\text{опт}}$ определяется выражениями (11) и (12).

Рассматривая автокомпенсатор как дискретную систему, эффективную полосу пропускания $\Delta f_{\text{эф}}$ можно определить следующим образом:

$$2\Delta f_{\text{эф}} = \frac{1}{2\pi i} \oint_{|z|=1} G(z)G(z^{-1}) \frac{dz}{z}, \quad (13)$$

где

$$G(z) = \frac{k_d H(z)}{1 + k_d H(z)},$$

k_d – коэффициент передачи или крутизна дискриминатора, $H(z)$ – системная функция сглаживающего фильтра в z -плоскости.

Для оптимального дискриминатора $k_d = 1$, а системная функция изображенного на рис. 4 сглаживающего фильтра 1-го порядка $H(z) = \eta / (z - 1)$. Тогда после вычисления

интеграла (13) найдем $2\Delta f_{эф} = \eta/(2 - \eta)$.

Окончательно получаем

$$\sigma_{\varphi}^2 = 2\Delta f_{эф} S_{110} = \frac{\eta[(1 + \lambda)^2 - \rho^2]}{2(2 - \eta)n\rho^2}. \quad (14)$$

Точность компенсации теперь зависит не только от n , но и от весового коэффициента η . При $\eta = 1$ точность компенсации в автокомпенсаторах с прямой и обратной связью при прочих равных условиях одинаковая, а при $\eta < 1$ точность автокомпенсаторов с обратной связью выше, что достигается ценой соответствующего увеличения длительности процесса установления. В связи с этим автокомпенсаторы с обратной связью целесообразно использовать в РЛС сопровождения.

На рис. 6 представлены зависимости среднеквадратичной ошибки σ_{φ} от объема обучающей выборки n при $\eta = 1$, $\lambda \leq 10^{-4}$ и $\rho = 0,99$. Кривая 1 соответствует выражениям (12) и (14), кривые 2 и 3 – моделированию автокомпенсатора (рис. 4) с дискриминаторами на основе алгоритмов (9) и (10) соответственно. Результаты моделирования подтверждают асимптотическую эффективность получаемых оценок и, следовательно, предельную точность компенсации доплеровской фазы помехи. Использование эвристического алгоритма (10) приводит к незначительному снижению точности компенсации, что позволяет отдать ему предпочтение, как более простому в реализации.

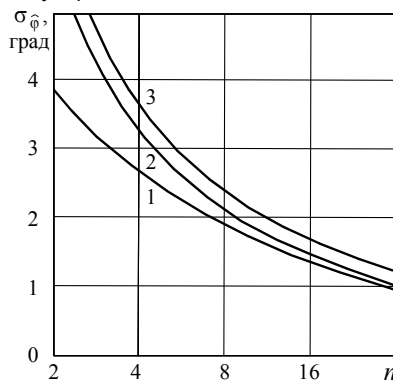


Рис. 6.

Погрешности автокомпенсации влияют на корреляционные свойства пассивной помехи. Коэффициенты корреляции отсчетов помехи $\tilde{U}_j = U_j e^{-ij\varphi}$ на выходе автокомпенсатора с учетом нормального закона распределения исходных отсчетов U_j и асимптотической нормальности распределения оценки $\hat{\varphi}$ со средним φ и дисперсией σ_{φ}^2 имеют вид

$$\tilde{\rho}_{jk} = \tilde{U}_j \tilde{U}_k^* / 2\sigma_{\varphi}^2 = \rho_{jk} \exp[-i(j-k)(\hat{\varphi} - \varphi)] = \rho_{jk} \exp[-(j-k)^2 \sigma_{\varphi}^2 / 2]$$

Экспоненциальный множитель учитывает уменьшение коэффициентов корреляции помехи в зависимости от величины σ_{φ}^2 и, следовательно, от объема обучающей выборки n , что соответствует расширению энергетического спектра помехи и приводит к снижению эффективности ее режектирования. Соответствующий анализ показывает, что снижение эффективности режектирования помехи за счет погрешностей автокомпенсации является незначительным (менее одного децибела при $n > 6$).

Устойчивость автокомпенсаторов с обратной связью

Автокомпенсатор как следящая система в зависимости от выбора его параметров может быть как устойчивым, так и

неустойчивым, что определяет динамику процесса автокомпенсации. Для определения условий устойчивости представим системную функцию автокомпенсатора на основе сглаживающего фильтра 1-го порядка (рис. 4) в виде

$$G(z) = \frac{k_d H(z)}{1 + k_d H(z)} = \frac{k_d \eta}{z - 1 + k_d \eta} = \frac{k_d \eta}{z - z_p},$$

где $z_p = 1 - k_d \eta$ – полюс системной функции.

Так как необходимым и достаточным условием устойчивости системы с обратной связью является выполнение неравенства $|z_p| < 1$, то автокомпенсатор будет устойчивым при $0 < k_d \eta < 2$. В частности, для оптимального дискриминатора $k_d = 1$, а условию устойчивости системы автокомпенсации соответствует $0 < \eta < 2$. В устойчивой системе возможны два вида переходного процесса – аperiodический, при $0 < \eta < 1/k_d$, и колебательный затухающий, при $1/k_d < \eta < 2/k_d$. При $\eta > 2/k_d$ система будет неустойчивой, а переходный процесс вследствие перерегулирования – колебательным расходящимся. Очевидно, что при $\eta = 1/k_d$ система с точностью до погрешностей оценивания доплеровского сдвига фазы помехи обрабатывает первоначальное рассогласование в течение первого шага автокомпенсации. При увеличении или уменьшении η время автокомпенсации увеличивается.

Заключение

Предложенные принципы построения и структурные схемы автокомпенсаторов с прямой связью позволяют реализовать практически безынерционную компенсацию доплеровской фазы пассивной помехи с заданной точностью компенсации. Предложенные автокомпенсаторы с обратной связью допускают широкий выбор структур и параметров их узлов в зависимости от требований к точности компенсации, длительности процесса установления и сложности аппаратной реализации. Использование упрощенного дискриминатора приводит к незначительному снижению точности компенсации, позволяющему рекомендовать его для практического применения. Погрешности автокомпенсации при соответствующем выборе объема обучающей выборки вносят незначительные потери в эффективность последующего режектирования пассивной помехи.

Литература

1. Попов Д.И. Синтез и анализ эффективности систем адаптивной междупериодной обработки сигналов на фоне помех с неизвестными корреляционными свойствами // Радиотехника и электроника. – 1983. – Т. 28. – № 12. – С. 2373-2380.
2. А. с. 934816 СССР, МКИ5 G 01 S 7/36, 13/52. Режекторный фильтр / Д.И. Попов. – 20 с.
3. А. с. 1015757 СССР, МКИ5 G 01 S 7/36. Устройство подавления пассивных помех / Д.И. Попов. – 12 с.
4. А. с. № 1136620 СССР, МКИ5 G 01 S 7/292. Измеритель параметров пассивных помех / Д.И. Попов, В.В. Гладких. – 9 с.
5. А. с. 1098399 СССР, МКИ5 G 01 S 7/36. Устройство адаптивной режекции пассивных помех / Д.И. Попов. – 16 с.
6. А. с. 687941 СССР, МКИ5 G 01 S 7/36. Устройство для подавления пассивных помех / Д.И. Попов. – 13 с.
7. А. с. 711849 СССР, МКИ5 G 01 S 7/36. Устройство для подавления пассивных помех / Д.И. Попов. – 10 с.
8. А. с. 875960 СССР, МКИ5 G 01 S 7/36. Устройство для подавления пассивных помех / Д.И. Попов. – 11 с.